

# การยับยั้งการสร้างไบโอฟิล์ม ความเป็นพิษต่อเซลล์ และการเสริมฤทธิ์ของลำโพงร่วมกับโพลีมิกซินบี

วิสาตรี คงเจริญสุนทร วท.ม., Ph.D.\*, พรพิมล บุตะเขี้ยว วท.บ.\*\*

## บทคัดย่อ

งานวิจัยนี้ศึกษาฤทธิ์ยับยั้งการสร้างไบโอฟิล์ม ความเป็นพิษ และการเสริมฤทธิ์กับโพลีมิกซินบีในการยับยั้งการเจริญของเชื้อแบคทีเรียดื้อยาของส่วนสกัดเอทานอลจากเปลือกต้นลำโพง ผลการยับยั้งการสร้างไบโอฟิล์ม พบว่าส่วนสกัดจากเปลือกต้นลำโพงสามารถยับยั้งการสร้างไบโอฟิล์มของเชื้อแบคทีเรีย *Escherichia coli* ATCC 25922, *Staphylococcus aureus* ATCC 25923 และ *Pseudomonas aeruginosa* ATCC 27853 ในช่วงเวลาตั้งแต่ 4-24 ชั่วโมง และยับยั้งการสร้างไบโอฟิล์มของ *Staphylococcus aureus* ATCC 25923 ได้ดีที่สุด (% inhibition =  $73.01 \pm 16.68$  %) ที่เวลา 24 ชั่วโมง การศึกษา Time kill assay แสดงให้เห็นว่า เมื่อใช้เปลือกต้นลำโพงความเข้มข้นเท่ากับ 1/2 MIC ผสมกับยาโพลีมิกซิน บี 1/2 MIC สามารถเสริมฤทธิ์กันเพื่อยับยั้งการเจริญเติบโตของเชื้อ *Acinetobacter baumannii* และ *Pseudomonas aeruginosa* และเปลือกลำโพงไม่มีความเป็นพิษต่อเซลล์แมคโครฟาจ (RAW 264.7) แต่สามารถเพิ่มการรอดชีวิตของเซลล์แมคโครฟาจ เมื่อใช้ความเข้มข้น 31.25-1,000 µg/ml อย่างมีนัยสำคัญทางสถิติ ( $p < 0.01$ )

คำสำคัญ : ลำโพง, ยับยั้งการสร้างไบโอฟิล์ม, เสริมฤทธิ์ของโพลีมิกซินบี, แมคโครฟาจ (RAW 264.7)

## Antibiofilm activity, Cytotoxicity and Synergy of polymyxin B mixed with *Sterculia foetida* L.

Wisatre Kongcharoensuntorn M.Sc., Ph.D.\*, Pondpimon Butakheiw B.Sc.\*\*

### Abstract

This research was aimed to study antibiofilm activity, cytotoxicity and synergistic effect of ethanol extract from stem bark of *Sterculia foetida* L. in combination with polymyxin B against some drug resistant bacteria. As a result of screening antibiofilm activity, stem bark of *Sterculia foetida* were be able to inhibit biofilm formation of *Escherichia coli* ATCC 25922, *Staphylococcus aureus* ATCC 2592, and *Pseudomonas aeruginosa* ATCC 27853 at the times of 4-24 hours after inoculum. Also, *Sterculia foetida* showed the best anti-biofilm activity against *Staphylococcus aureus* ATCC 25923 at 24 hours after inoculum and showed % inhibition as  $73.0 \pm 16.68$  %. Additionally, synergistic effect of *Sterculia foetida* in combination with polymyxin B was reported that using 1/2 MIC of *Sterculia foetida* mixed with 1/2 MIC of polymyxin B enhanced antibacterial activity against drug resistant *Acinetobacter*

\* ผู้ช่วยศาสตราจารย์ ภาควิชาชีววิทยา คณะวิทยาศาสตร์ มหาวิทยาลัยบูรพา

\* Department of Biology, Faculty of Science, Burapha University

\*\* นิสิตปริญญาตรี ภาควิชาชีววิทยา คณะวิทยาศาสตร์ มหาวิทยาลัยบูรพา

\*\* Department of Biology, Faculty of Science, Burapha University

*baumannii* and *Pseudomonas aeruginosa* by time kill assay. Finally, our discovery was indicated that stem bark of *Sterculia foetida* showed no toxicity against macrophage (RAW 264.7). However, *Sterculia foetida* significantly increased cell viability of macrophage when treated the macrophage with 31.25 - 1,000 µg/ml of *Sterculia foetida* extract ( $p < 0.01$ ).

**Keywords :** *Sterculia foetida*, antibiofilm activity, Synergy of polymyxin B, Macrophage (RAW 264.7)

## บทนำ

ในปัจจุบันพบอุบัติการณ์การติดเชื้อยาปฏิชีวนะหลายขนานของเชื้อแบคทีเรียที่ก่อโรคติดเชื้อในโรงพยาบาล และพบอัตราการเสียชีวิตสูงมาก ได้แก่ การติดเชื้อ *Acinetobacter baumannii*, *Escherichia coli* ATCC 25922, *Pseudomonas aeruginosa* และ *Staphylococcus aureus* ที่ดื้อยาหลายขนาน โดยทั่วไปมักพบติดเชื้อในระบบทางเดินหายใจ ระบบทางเดินปัสสาวะ และแผลผ่าตัด เชื้อกลุ่มนี้มีการพัฒนาการดื้อยาเพิ่มมากขึ้นในช่วง 10 ปีที่ผ่านมา<sup>1,2</sup> และเริ่มพบการแพร่กระจายของเชื้อเหล่านี้เพิ่มมากขึ้นในโรงพยาบาล แพร่กระจายไปเป็นเอนในเครื่องมือแพทย์ และกระจายไปสู่สิ่งแวดล้อม ทำให้เป็นไปได้ยากที่จะการควบคุมการระบาดของเชื้อแบคทีเรียดื้อยาในโรงพยาบาล ส่งผลให้เกิดการเสียชีวิตของผู้ป่วยที่ติดเชื้อแบคทีเรียดื้อยาหลายขนานสูงมาก เช่น พบการติดเชื้อในหอผู้ป่วยแผนกอายุรกรรม เป็นต้น<sup>3</sup> ก่อให้เกิดความยากลำบากของแพทย์ในการเลือกใช้ยาปฏิชีวนะเพื่อรักษา เพราะต้องใช้ยาปฏิชีวนะหลายขนานร่วมกันรักษา หรือใช้ยาต้านจุลชีพชนิดใหม่ที่มีราคาแพงในการรักษา ทำให้ต้องใช้ระยะเวลาในการรักษาผู้ป่วย จึงเกิดโรคแทรกซ้อนตามมาจากภาวะภูมิคุ้มกันอ่อนแอ และผู้ป่วยต้องเสียค่าใช้จ่ายสูงในการรักษาด้วยยาปฏิชีวนะอนุพันธ์ที่สูงขึ้น เช่น ยากลุ่มโพลีไมซิน (เช่น colistin)<sup>4</sup> และในปัจจุบันเริ่มมีพบอุบัติการณ์การดื้อยาของยาโพลีไมซิน<sup>5</sup> ซึ่งเป็นยาโบราณได้ถูกนำมาใช้ในการรักษาโรคติดเชื้อดื้อยาหลายขนานในปัจจุบัน เพราะยังคงมีความไวต่อการใช้รักษาโรคติดเชื้อแบคทีเรียดื้อยา แต่ยาชนิดนี้มีพิษต่อไตสูง<sup>5</sup> ดังนั้นแนวทางหนึ่งในการรักษาและการลดการเกิดอุบัติการณ์การดื้อยาของเชื้อแบคทีเรีย คือลดปริมาณการใช้ยาปฏิชีวนะลง หรือนำยาปฏิชีวนะที่ใช้ไม่ได้ผลกลับมาใช้ใหม่ เช่น แอมพิซิลลิน และเตตราซัยคลิน หรือการใช้ยาปฏิชีวนะรักษาร่วมกับสารสกัดจากสมุนไพร เพราะสมุนไพรมีการใช้มาอย่างต่อเนื่องและยาวนาน เป็นสารที่ได้จากธรรมชาติ มีแนวโน้มปลอดภัยประกอบด้วยสารออกฤทธิ์หลายชนิด ที่สามารถออกฤทธิ์ยับยั้งหรือฆ่าเชื้อแบคทีเรียร่วมกันหลายกลไก<sup>6</sup> นอกจากนี้สมุนไพรมีฤทธิ์ต้านอนุมูลอิสระ ที่สามารถลดการอักเสบในผู้ป่วยติดเชื้อซึ่งคุณสมบัติเหล่านี้ ทำให้สมุนไพรเป็นตัวเลือกที่ดี ที่อาจจะนำมาพัฒนาเป็นยารักษาโรคติดเชื้อแบคทีเรียที่มีประสิทธิภาพ

หรือนำมาผสมกับยาปฏิชีวนะ เพื่อลดปริมาณการใช้ยาปฏิชีวนะ<sup>6,7</sup> ปัจจุบันมีงานศึกษาวิจัยเกี่ยวกับการนำสมุนไพรมาใช้ร่วมกับยาปฏิชีวนะในการยับยั้งเชื้อแบคทีเรียมากมาย<sup>8</sup> เช่น Atrocarpin ผสมกับยาเตตราซัยคลิน แอมพิซิลลิน และนอร์ฟลอกซาซิน สามารถยับยั้งการเจริญของเชื้อ *S. aureus*, *P. aeruginosa*, *E. coli*<sup>9</sup> งานวิจัยนี้จึงสนใจศึกษา ต้นลำโรง ซึ่งมีคุณสมบัติทางชีวภาพประการ เช่น ต้านอนุมูลอิสระ ต้านอักเสบ ต้านมะเร็ง ควบคุมระบบภูมิคุ้มกัน (immunomodulation) และที่สำคัญสามารถยับยั้งการเจริญของเชื้อแบคทีเรีย<sup>10</sup> ต้นลำโรง (*Sterculia foetida* L.) คือพืชวงศ์ Malvaceae เป็นไม้ยืนต้นผลัดใบขนาดใหญ่ ที่พบแถบภาคอีสานเหนือ ได้และภาคตะวันออกเฉียงใต้ มีสรรพคุณช่วยละลายเสมหะ แก้บิด ช่วยขับปัสสาวะ แก้โรคปวดข้อ และสมานแผลในกระเพาะและลำไส้<sup>11</sup> พบสารประกอบทางเคมี ได้แก่ flavonoid, saponin, alkaloid, tannin, triterpene และsteroid<sup>12</sup> รายงานการวิจัยต่าง ๆ พบว่าเปลือกลำโรงมีฤทธิ์ยับยั้ง *Bacillus subtilis*, *Streptococcus mitis*, *Staphylococcus aureus*, *Shigella flexneri*, *Salmonella typhi* และ *Klebsiella pneumoniae* เป็นต้น นอกจากนี้ลำโรงมีฤทธิ์ในการต้านอนุมูลอิสระ และสามารถยับยั้งการเจริญของแบคทีเรีย และสามารถฆ่าเซลล์มะเร็ง osteosarcoma<sup>13</sup> จากข้อมูลดังกล่าว จึงแสดงให้เห็นว่าต้นลำโรงนั้นมีฤทธิ์ยับยั้งแบคทีเรีย ซึ่งอาจจะนำมาใช้ทดแทนยาปฏิชีวนะ<sup>10</sup>

ไบโอฟิล์ม (biofilm) คือกลไกการรวมกลุ่มของเชื้อแบคทีเรียที่สำคัญ เพื่อเข้าติดเชื้อในร่างกายผู้ป่วย แบคทีเรียจะเจริญเติบโตและเกาะติดพื้นผิวที่มีความชื้นสูง จากนั้นจะผลิตสารพอลิเมอร์ที่มีลักษณะเป็นเมทริกซ์ ประกอบด้วยคาร์โบไฮเดรต โปรตีน ซึ่งทำหน้าที่ป้องกันอันตรายต่อเชื้อแบคทีเรียที่อยู่ภายในไบโอฟิล์ม เพื่อให้สามารถเพิ่มจำนวนแบคทีเรียที่มากพอ ก่อนจะเข้าติดเชื้อเซลล์เจ้าบ้าน (host)<sup>14</sup> ดังนั้นด่านแรกของการลดอุบัติการณ์การติดเชื้อแบคทีเรียคือการลดการสร้างไบโอฟิล์ม ลดการเกาะติดผิวเครื่องมือแพทย์ เพื่อป้องกันการติดเชื้อสู่เซลล์เจ้าบ้าน ก่อนจะถูกกลืนไปสู่เนื้อเยื่อ อวัยวะ และกระแสเลือด<sup>14</sup>

ดังนั้นวัตถุประสงค์ของงานวิจัยนี้คือการศึกษาฤทธิ์การยับยั้งการเจริญของแบคทีเรียด้วยวิธี Broth dilution assay

ฤทธิ์ยับยั้งการสร้างไบโอฟิล์มของเปลือกต้นลำโรง และการเสริมฤทธิ์ของเปลือกต้นลำโรงร่วมกับยาโพลีเมกซิน บี ในการยับยั้งการเจริญของเชื้อแบคทีเรียคือยา ตลอดจนศึกษาความเป็นพิษของเปลือกต้นลำโรง

## วิธีการศึกษาและวัสดุอุปกรณ์

### เชื้อแบคทีเรีย

เชื้อแบคทีเรียมาตรฐานคือ *E. coli* ATCC 25922 และ *S. aureus* ATCC 25923 ได้รับความอนุเคราะห์จากภาควิชาจุลชีววิทยา คณะวิทยาศาสตร์ มหาวิทยาลัยบูรพา *P. aeruginosa* สายพันธุ์คือยาปฏิชีวนะ (รหัส 1-375/04-2017) และ *A. baumannii* คือยาโพลีเมกซิน บี อะมิโนกลัยโคไซด์ บีต้า แล็คแทม คาบาพีเนม และควิโนโลน ได้รับความอนุเคราะห์จากโรงพยาบาลชลบุรี จังหวัดชลบุรี

### การเตรียมส่วนสกัดจากเปลือกต้นลำโรง

เก็บเปลือกต้นลำโรง จากบริเวณชุมชนในเขตอำเภอเมือง จังหวัดชลบุรี และนำต้นลำโรงมาเย็นย่นสายพันธุ์ โดยดร.เบญจวรรณ ชิวปรีชา (นักพฤกษศาสตร์ มหาวิทยาลัยบูรพา ชลบุรี) ตั้งชื่อรหัสพรรณไม้อ้างอิง คือ ScBuu-MS01 จากนั้นนำเปลือกต้นลำโรงจำนวน 2 กิโลกรัม มาอบให้แห้ง บดให้เป็นผงละเอียด จากนั้นนำมาสกัดด้วยเอทานอล โดยนำผงเปลือกต้นลำโรงมาแช่ใน 80 % เอทานอล ด้วยสัดส่วนของเปลือกต้นลำโรงต่อตัวทำละลายเท่ากับ 3:1 ทิ้งไว้ให้ตกตะกอน 3 วัน จากนั้นน้ำที่สกัดได้จากเปลือกต้นลำโรงไปทำการกรองด้วยกระดาษกรอง Whatman No.1 แล้วนำไประเหยแห้งด้วยเครื่อง Rotary evaporator ที่อุณหภูมิ 55°C จำนวนปริมาณส่วนสกัด (crude extract) ได้เท่ากับ 97.09 กรัม คิดเป็น 4.22% จากนั้นเตรียมความเข้มข้นของส่วนสกัดเปลือกต้นลำโรงให้เป็นความเข้มข้นเริ่มต้น 80 มิลลิกรัมต่อมิลลิลิตร

### การทดสอบฤทธิ์ยับยั้งการเจริญของเชื้อแบคทีเรีย

ทดสอบด้วยวิธี Broth dilution assay<sup>15</sup> เริ่มต้น นำเชื้อทดสอบมาเทียบความเข้มข้นกับ McFarland No. 0.5 ให้มีปริมาณ  $1 \times 10^8$  CFU/ml จากนั้นเตรียมส่วนสกัดลำโรง 80 mg/ml ปริมาตร 100  $\mu$ l มาเจือจางด้วย MHB 100  $\mu$ l เพื่อให้มีความเข้มข้นลดลงที่ละสองเท่า (0.625-80 mg/ml) แล้วจึงนำสารที่เจือจางปริมาตร 100  $\mu$ l มาผสมกับเชื้อแบคทีเรียทดสอบ ปริมาตร 100  $\mu$ l (ปริมาณ  $1 \times 10^8$  CFU/ml) จากนั้นนำส่วนสกัดลำโรงในแต่ละ treatment ไปบ่มที่อุณหภูมิ 37 °C เป็นเวลา 18-24 ชั่วโมง และแต่ละ treatment ทำการทดสอบจำนวน 3 ซ้ำ โดยเทียบกับยาแอมพิซิลลิน เตตราซัยคลิน และโพลีเมกซินบี จากนั้นวัดความเข้มข้นของเชื้อด้วย ที่ OD 610 ด้วย

microplate reader (VersaMax, U.S.A.) บันทึกผลเพื่อหาค่า minimal inhibitory concentration (MIC)

### การทดสอบฤทธิ์การยับยั้งการเกาะติดผิว (Antibiofilm activity test)

ทดสอบโดยวิธีที่ดัดแปลงจากวิธีของ Awolola และคณะ<sup>16</sup> โดยเลี้ยงเชื้อแบคทีเรียที่ด้วยอาหาร Nutrient Broth (NB) บ่มที่อุณหภูมิ 37 °C เป็นเวลา 24 ชั่วโมง และนำไปปรับความเข้มข้นด้วย McFarland 0.5 ( $1.5 \times 10^8$  CFU/ml) จากนั้นใส่ส่วนสกัดจากเปลือกต้นลำโรง ความเข้มข้นเท่ากับ 1XMIC และ 2XMIC ปริมาตร 500  $\mu$ l แล้วเติมเซลล์แบคทีเรียที่ปรับความเข้มข้นเท่ากับ McFarland 0.5 ปริมาตร 500  $\mu$ l ในถาดหลุมชนิด 6 หลุม (microtiter plate) จากนั้นเติมอาหารเลี้ยงเซลล์ NB 500  $\mu$ l ลงในหลอดทดลอง บ่มที่อุณหภูมิ 37 °C เป็นเวลา 4, 8, 12 และ 24 ชั่วโมง เมื่อครบเวลาทดสอบ นำแบคทีเรียทุกชุดการทดสอบมาตรึงเซลล์แบคทีเรียที่เกาะติดผิวกันหลุมหลอดทดลอง (cell fixing) ด้วยการดูดน้ำส่วนใสที่ไม่มีเซลล์แขวนลอยของเชื้อออก 1000  $\mu$ l แล้วล้างตะกอนเซลล์แบคทีเรียที่เกาะกันหลุม 2 ครั้งด้วย Phosphate buffer saline (PBS) ตรึงเซลล์แบคทีเรียด้วย Methanol ปริมาตร 200  $\mu$ l เพื่อให้โปรตีนของเชื้อแบคทีเรียตรึงอยู่บนผิวกันหลุมในถาดหลุม จากนั้นเก็บตะกอนเซลล์แบคทีเรียที่เกาะติดผิวมาย้อมสีด้วย 0.01 % crystal violet ปริมาตร 40  $\mu$ l ทิ้งไว้ 3-5 นาที แล้วเติม 33 % glacial acetic acid ปริมาตร 40  $\mu$ l เพื่อหยุดปฏิกิริยาและฆ่าเซลล์แบคทีเรีย จากนั้นนำแบคทีเรียที่ย้อมสีแล้วไปวัดค่าการดูดกลืนคลื่นแสงที่ค่าความยาวคลื่น 600 นาโนเมตร (O.D 600) บันทึกค่า O.D. โดยทดสอบเปรียบเทียบชุดควบคุมได้แก่ เชื้อแบคทีเรียใน NB เป็น negative control และยาออกซีเตตราซัยคลิน เป็น positive control ทุกการทดสอบจะทำการทดสอบ 3 ครั้ง จากนั้น นำค่า O.D. มาคำนวณค่า % การยับยั้งการสร้างไบโอฟิล์ม ดังสมการที่ 1

$$(\%) \text{ inhibition} = \frac{(\text{OD}_{\text{negative control}} - \text{OD}_{\text{sample}})}{(\text{OD}_{\text{negative control}}} \times 100 \quad (1)$$

OD Sample คือ ค่าการดูดกลืนแสงของตัวอย่างทดสอบ

OD Negative Control คือ ค่าการดูดกลืนแสงของชุดควบคุม

### การศึกษาการเสริมฤทธิ์ของลำโรงร่วมกับยาปฏิชีวนะ (Time-Kill Assay)

คือศึกษาการเจริญเติบโตของเชื้อแบคทีเรีย โดยการเตรียมเชื้อแบคทีเรียความเข้มข้นของเชื้อเท่ากับ McFarland No. 0.5 ( $1.5 \times 10^8$  CFU/ml) ปริมาตร 100  $\mu$ l เติม MHB ปริมาตร 2800  $\mu$ l เติมสารทดสอบ และยาปฏิชีวนะความเข้มข้นที่เหมาะสม อย่างละ 100  $\mu$ l แล้วผสมให้เข้ากัน แล้วนำสาร

ทดสอบทั้งหมด ไปบ่มที่อุณหภูมิ 37 °C บ่มตามเวลาที่กำหนด คือ 0, 2, 4, 6, 8, 10, 24 และ 48 ชั่วโมง เมื่อครบเวลาดูดสารทดสอบที่ผสมแบคทีเรีย ออกมานับจำนวนแบคทีเรียที่รอดชีวิตปริมาตร 100 µl โดยการเจือจาง 10-fold dilution ด้วย PBS จากนั้นนำเชื้อที่เจือจางไปเลี้ยงในอาหาร NA เป็นเวลา 24 ชั่วโมง แล้วจึงนำมานับจำนวนโคโลนี แต่ผลการทดสอบ จะทำสามซ้ำ โดยเปรียบเทียบกับ สารชุดควบคุมคือ น้ำกลั่น และยาโพลีเมคซินบี นำจำนวนแบคทีเรียไปสร้างกราฟความสัมพันธ์ระหว่างเวลาและค่า log10 ของจำนวนเซลล์แบคทีเรีย (CFU/ml) จากนั้นนำมาคำนวณหาประสิทธิภาพการยับยั้งเชื้อ (The effectiveness antibacterial activity; EAA = ร้อยละของแบคทีเรียที่ลดลงจากเวลาเริ่มต้น)<sup>17</sup> คำนวณดังสมการที่ 2

$$EAA \% = \frac{N_0 - N_E}{N_0} \times 100 \quad (2)$$

$N_0$  คือ จำนวนเซลล์แบคทีเรีย (CFU/ml) ของกลุ่มควบคุม  
 $N_E$  คือ จำนวนเซลล์แบคทีเรีย (CFU/ml) ของกลุ่มทดลอง

**การทดสอบความเป็นพิษของลำโพง (cytotoxicity test)**

คือการประเมินความเป็นพิษต่อเซลล์แมโครฟาจ (macrophage RAW 264.7) ด้วยวิธี Tetrazolium dye methylthiotetrazole (MTT) assay<sup>18</sup> โดยทำการเลี้ยงเซลล์แมโครฟาจ และ แยกนับจำนวนเซลล์ด้วย Hemocytometer แล้วทำการเพาะเลี้ยงเซลล์ในถาดหลุมชนิด 96 หลุม (96 well plates) โดยให้มีจำนวนเซลล์เริ่มต้น  $2.5 \times 10^4$  เซลล์ต่อหลุม เติมหาอาหารเลี้ยงเซลล์ คือ Completed DMEM ปริมาตร 200 µl นำไปบ่มในตู้เพาะเลี้ยง ที่อุณหภูมิ 37 องศาเซลเซียส ภายใต้สภาวะ 5% CO<sub>2</sub> เป็นเวลา 24 ชั่วโมง เพื่อให้เซลล์เกาะในถาดหลุม จากนั้นดูดอาหารเลี้ยงเซลล์เดิมออก แล้วเติมสารทดสอบที่ ความเข้มข้นต่างๆ ปริมาตร 200 µl นำไปบ่มในตู้เพาะเลี้ยง ในสภาวะเดิมเป็นเวลา 24 ชั่วโมง เมื่อครบเวลาทำการทดสอบด้วยวิธี MTT โดยทำการล้างเซลล์ด้วย PBS pH 7.3 หลังจากนั้นเติมสารละลาย MTT ความเข้มข้น 0.25 mg/ml ปริมาตร 200 µl นำไปบ่มในตู้เพาะเลี้ยงเป็นเวลา 2 ชั่วโมง จากนั้นดูดสารละลาย MTT ออกจนหมดและเติม DMSO ปริมาตร 200 µl ผสมให้เข้ากันแล้วนำไปวัดค่าการดูดกลืนแสงด้วยเครื่องวัดการดูดกลืนแสง (Spectrophotometer) ที่ความยาวคลื่น 570 นาโนเมตร (OD 570) ทำการทดสอบซ้ำ 3 ครั้ง และคำนวณหาร้อยละของจำนวนเซลล์ที่มีชีวิตรอด (% Cell viability) เช่นเดียวกับสมการที่ 3

$$\% \text{ Cell viability} = [(OD_{\text{Sample}} - OD_{\text{Blank}}) / (OD_{\text{Control}} - OD_{\text{Blank}})] \times 100 \quad (3)$$

OD Sample คือ ค่าการดูดกลืนแสงของตัวอย่างทดสอบ

OD Control คือ ค่าการดูดกลืนแสงของชุดควบคุม

**การวิเคราะห์ข้อมูลทางสถิติ**

วิเคราะห์ข้อมูลทางสถิติด้วยโปรแกรม Minitab V.17 เปรียบเทียบจำนวนแบคทีเรียที่ ทดสอบ (Log CFU/ml) และ ค่า OD ของการดูดกลืนคลื่นแสง ด้วยการวิเคราะห์ ความแปรปรวนแบบทิศทางเดียว (one way ANOVA) และ วิเคราะห์ความแตกต่างกันของข้อมูลด้วยด้วยแฟคเทอเรียลในแผนแบบสุ่มในบล็อกสมบูรณ์ (Factorial Experiment in a Randomized Complete Block Design)

**ผลการศึกษา**

**การศึกษาฤทธิ์ยับยั้งการเจริญของแบคทีเรีย**

ผลการยับยั้งการเจริญของส่วนสกัดเอทานอลจากเปลือกลำต้นลำโพง แสดงดังตารางที่ 1 การทดสอบพบว่า ส่วนสกัดจากเปลือกต้นลำโพง ยาอีทรีเตตราซัยคลิน และยาโพลีเมคซินบี สามารถยับยั้งแบคทีเรียการเจริญของเชื้อแบคทีเรีย *E. coli* ATCC 25922, *P. aeruginosa* ต้อยยา และ *S. aureus* ATCC 25923 ที่ทำการทดสอบ แสดงค่า MIC 10-80 mg/ml แต่แอมพิซิลลินไม่สามารถยับยั้งการเจริญของ *A. baumannii* และ *P. aeruginosa* ต้อยยา

**ตารางที่ 1** ฤทธิ์การยับยั้งเชื้อแบคทีเรียของส่วนสกัดจากเปลือกต้นลำโพงและยาปฏิชีวนะในการยับยั้งการเจริญของแบคทีเรียฉวยโอกาส ด้วยวิธี Broth dilution assay

แบคทีเรีย	ค่า MIC (mg/ml)			
	ส่วนสกัดจากเปลือกต้นลำโพง	อีทรีเตตราซัยคลิน	แอมพิซิลลิน	โพลีเมคซิน บี
<i>A. baumannii</i> ต้อยยา	-	10	-	0.0391
<i>E. coli</i> ATCC 25922	40	0.3125	0.3125	nd
<i>P. aeruginosa</i> ต้อยยา	80	2.5	-	0.0391
<i>S. aureus</i> ATCC 25923	80	10	10	nd

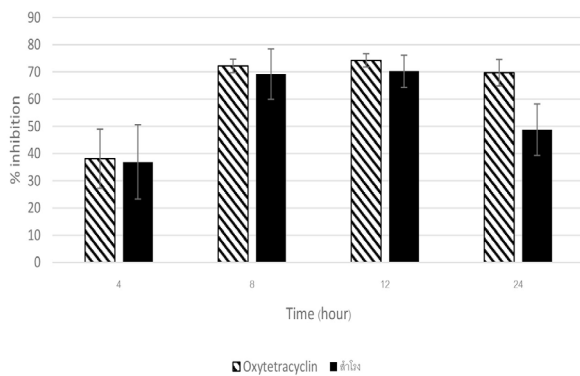
หมายเหตุ - หมายถึง ไม่พบค่า MIC, nd หมายถึง ไม่ได้ทดสอบ

**การศึกษาการยับยั้งการสร้างไบโอฟิล์ม**

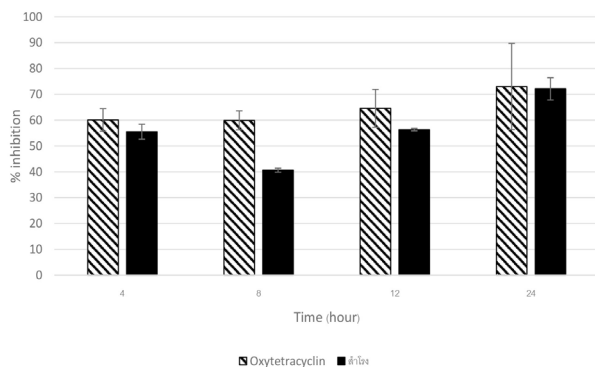
ผลการยับยั้งการสร้างไบโอฟิล์มของเชื้อ *E. coli* ATCC 25922, *S. aureus* ATCC 25923 และ *P. aeruginosa*



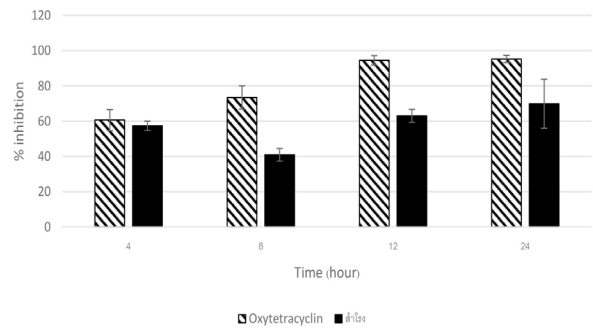
ด้อยยา ที่เวลา 4, 8, 12 และ 24 ชั่วโมง เมื่อใช้ความเข้มข้นของเปลือกลำโรง (2MIC, 1MIC, 1MIC ตามลำดับ) และยาออกซีเตตราซัยคลิน (64MIC, 16MIC, 4MIC ตามลำดับ) คือเท่ากับ 80 mg/ml แสดงดังภาพที่ 1-3 พบว่าส่วนสกัดจากเปลือกต้นลำโรงสามารถยับยั้งการสร้างไบโอฟิล์มของเชื้อทั้งสามชนิดนี้ได้แตกต่างกันอย่างมีนัยสำคัญทางสถิติ ( $p < 0.05$ ) และพบว่าส่วนสกัดจากเปลือกต้นลำโรงสามารถยับยั้งการสร้างไบโอฟิล์มของเชื้อ *S. aureus* ATCC 25923 ได้ดีที่สุดในช่วงเวลาที่ 24 (% inhibition เท่ากับ  $73.01 \pm 16.68$ ) (ภาพที่ 2) รองลงมาคือ *E. coli* ATCC 25922 (% inhibition เท่ากับ  $70.22 \pm 5.90$  ในช่วงเวลาที่ 12) (ภาพที่ 1) และ *P. aeruginosa* ด้อยยา (% inhibition เท่ากับ  $69.86 \pm 13.90$  ในช่วงเวลาที่ 24) (ภาพที่ 3) ตามลำดับ แต่ประสิทธิภาพการยับยั้งการสร้างไบโอฟิล์มของเปลือกต้นลำโรงต่ำกว่าของการยับยั้งการสร้างไบโอฟิล์มของยาออกซีเตตราซัยคลิน (% inhibition เท่ากับ  $59.92 \pm 3.69 - 95.26 \pm 2.06$  ในช่วงเวลา 8-24 ชั่วโมง) (ภาพที่ 1-3)



**ภาพที่ 1** การเปรียบเทียบของส่วนสกัดจากเปลือกต้นลำโรง (80 mg/ml) กับยาออกซีเตตราซัยคลิน (80 mg/ml) ในการยับยั้งการสร้างไบโอฟิล์มของเชื้อ *E. coli* ATCC 25922



**ภาพที่ 2** การเปรียบเทียบของส่วนสกัดจากเปลือกต้นลำโรง (80 mg/ml) กับยาออกซีเตตราซัยคลิน (80 mg/ml) ในการยับยั้งการสร้างไบโอฟิล์มของเชื้อ *S. aureus* ATCC 25923



**ภาพที่ 3** การเปรียบเทียบของส่วนสกัดจากเปลือกต้นลำโรง (80 mg/ml) กับยาออกซีเตตราซัยคลิน (80 mg/ml) ในการยับยั้งการสร้างไบโอฟิล์มของเชื้อ *P. aeruginosa* ด้อยยา

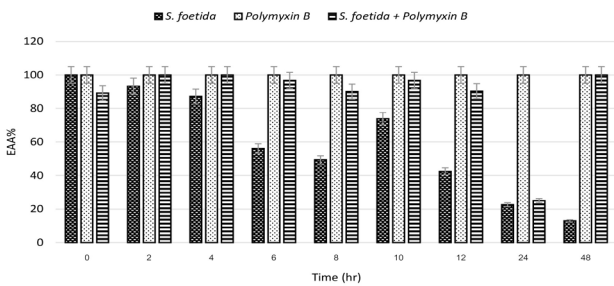
### การศึกษาการเสริมฤทธิ์ของลำโรงร่วมกับยาโพลีเมกซินบี ด้วยวิธี Time kill assay

ปัจจุบันพบอุบัติการณ์การติดเชื้อและอัตราการด้อยยาของเชื้อแบคทีเรีย *A. baumannii* และ *P. aeruginosa* สูงมาก เป็นปัญหาสาธารณสุขที่สำคัญ งานวิจัยนี้จึงเลือกศึกษาการใช้เปลือกต้นลำโรงควบคู่กับยา ยาโพลีเมกซินบี ซึ่งเป็นยาเพียงชนิดเดียวที่ยังสามารถใช้รักษาโรคติดเชื้อจากแบคทีเรียด้อยยาหลายขนานโดยนำส่วนสกัดเอทานอลจากเปลือกลำต้นลำโรงผสมกับยาโพลีเมกซิน บี เพื่อติดตาม growth curve ของแบคทีเรีย และผลการวิจัยพบว่าเปลือกลำต้นลำโรงเมื่อใช้ความเข้มข้น  $\frac{1}{2}$  MIC ผสมกับยาโพลีเมกซินบี เท่ากับ  $\frac{1}{2}$  MIC (ค่า MIC ของยาโพลีเมกซินบี คือ 0.38 mg/ml) สามารถเสริมฤทธิ์ร่วมกับยาโพลีเมกซิน บี ในการยับยั้ง *A. baumannii* ด้อยยาได้ดีเทียบเท่ากับการใช้ยาโพลีเมกซิน บี เพียงชนิดเดียว โดยยับยั้งได้ดีที่สุดในชั่วโมงที่ 2 และ 4 (ช่วงต้นของ log phase) (EAA เท่ากับ 100%) (แสดงดังภาพที่ 4) แต่เปลือกลำต้นลำโรงเมื่อผสมกับยาโพลีเมกซิน บี จะมีประสิทธิภาพการออกฤทธิ์ยับยั้งเชื้อ *P. aeruginosa* ด้อยยา ได้น้อยกว่าการใช้ยาโพลีเมกซินบี เพียงชนิดเดียว โดยออกฤทธิ์ได้ดีที่สุดในชั่วโมงที่ 4 และ 6 (EAA > 60%) และการใช้ยาโพลีเมกซินบี เพียงชนิดเดียว และออกฤทธิ์ฆ่าเซลล์แบคทีเรียทั้งสองสายพันธุ์ได้ดีที่สุด โดยแสดงค่า EAA สูงกว่าการใช้ร่วมกับเปลือกลำต้นลำโรง (EAA เท่ากับ 100% ในช่วงเวลาที่ 2-24) (แสดงดังภาพที่ 5) แต่อย่างไรก็ตามส่วนสกัดเปลือกลำต้นลำโรง เพียงชนิดเดียวก็สามารถยับยั้งการเจริญของเชื้อทั้งสองสายพันธุ์ได้ในช่วง 2-4 ชั่วโมง (ช่วงต้น log phase, EAA มากกว่า 80%) (แสดงดังภาพที่ 4 และ 5)

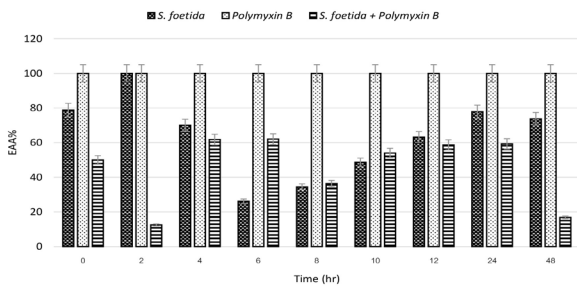
### การทดสอบความเป็นพิษของลำโรง

การทดสอบความเป็นพิษของเปลือกต้นลำโรงกับเซลล์แมคโครฟาจ macrophage (RAW 264.7) ด้วยวิธี MTT assay

ผลการทดสอบ พบจำนวนเซลล์แมโครฟาจเพิ่มขึ้น เมื่อใช้เปลือกต้นลำโรง ความเข้มข้น

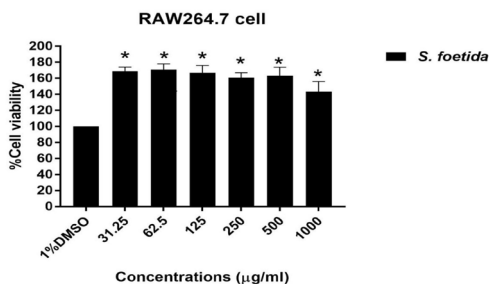


ภาพที่ 4 ร้อยละของจำนวนโคโลนีที่เปลี่ยนแปลงของส่วนสกัดเอทานอลจากเปลือกลำต้นลำโรง (40 mg/ml) ร่วมกับโพลีมิคซิน บี (1/2MIC = 0.019 mg/ml) ในการยับยั้งการเจริญของ A. baumannii คือยา ต่อหน่วยเวลา



ภาพที่ 5 ร้อยละของจำนวนโคโลนีที่เปลี่ยนแปลงของส่วนสกัดเอทานอลจากเปลือกลำต้นลำโรง (1/2MIC = 40 mg/ml) ร่วมกับโพลีมิคซิน บี (1/2MIC = 0.019 mg/ml) ในการยับยั้งการเจริญของ P. aeruginosa คือยา ต่อหน่วยเวลา

31.25-1000 µg/ml อย่างมีนัยสำคัญทางสถิติ (p<0.01) เมื่อเปรียบเทียบกับเซลล์แมโครฟาจ ที่ไม่เติมเปลือกต้นลำโรง โดยการทดลองพบว่าแสดงให้เห็นว่า ความเข้มข้นของเปลือกต้นลำโรงที่ใช้ทดสอบ ไม่มีความเป็นพิษต่อเซลล์แมโครฟาจ และเปลือกต้นลำโรงสามารถเพิ่มการแบ่งเซลล์ของแมโครฟาจเพิ่มขึ้น 60-65% (% cell proliferation) ภายในเวลา 24 ชั่วโมง เมื่อใช้ความเข้มข้น 31.25-500 µg/ml



ภาพที่ 6 ร้อยละของจำนวนเซลล์แมโครฟาจ macrophage (RAW 264.7) ที่มีชีวิตรอด เมื่อเติมส่วนสกัดเปลือกต้นลำโรง ที่ระดับความเข้มข้นต่างๆ (31.25-1000 µg/ml)

วิจารณ์

การสำรวจฤทธิ์ในการยับยั้งการเจริญของแบคทีเรีย แสดงให้เห็นว่า ส่วนสกัดจากเปลือกลำโรงสามารถยับยั้งการเจริญของเชื้อแบคทีเรียทุกสายพันธุ์ที่นำมาทดสอบ ยกเว้น A. baumannii (คือค่า MIC อยู่ระหว่าง 10-80 mg/ml) และเปลือกต้นลำโรงมีฤทธิ์การยับยั้งการเจริญของแบคทีเรียน้อยกว่ายาอีกซีเตตรา-ซัยคลิน แต่ยาแอมพิซิลินไม่สามารถยับยั้งการเจริญของเชื้อเหล่านี้ และงานวิจัยนี้แสดงให้เห็นว่าแต่ต้องใช้ยาโพลีมิคซิน บี ความเข้มข้นที่สูงมาก เท่ากับ 0.0391 มิลลิกรัมต่อมิลลิลิตร จึงสามารถยับยั้งการเจริญของทั้ง A. baumannii คือยา และ P. aeruginosa คือยา ซึ่งแสดงให้เห็นว่าเชื้อทั้งสองสายพันธุ์ที่ทดสอบ เริ่มมีแนวโน้มจะดื้อต่อยาโพลีมิคซินบี (ค่า MIC ≥ 4 µg/ml ถือเป็นระดับที่เชื้อดื้อต่อยาโคลิสติน ซึ่งเป็นกลุ่มเดียวกับยาโพลีมิคซิน บี) งานวิจัยนี้แสดงผลสอดคล้องกับการใช้ส่วนสกัดเปลือกลำโรงสกัดด้วยเฮกเซนสามารถยับยั้งการเจริญของเชื้อ Shigella flexneri, Salmonella Typhi, Klebsiella pneumoniae<sup>10,19</sup> และสอดคล้องกับผลการวิจัยของส่วนสกัดจากใบลำโรง ที่สามารถยับยั้งเชื้อ Escherichia coli, Klebsiella pneumoniae, Pseudomonas aeruginosa, Staphylococcus aureus (ค่า MIC 56.6-226.3 µg/mL)<sup>20</sup> แต่การวิจัยครั้งนี้ใช้เปลือกต้นลำโรงที่สกัดด้วยเอทานอล และแสดงค่า MIC ที่สูงกว่า (40-80 mg/ml) เนื่องจากในใบมีองค์ประกอบของ flavone, flavonol, flavonoid, phenolic acid, triterpene เช่น stercofuotin A ในปริมาณมาก จึงอาจจะเป็นสารออกฤทธิ์ยับยั้งการเจริญของแบคทีเรียได้ดีกว่าเปลือกต้นลำโรง<sup>20,21</sup> และยังสนับสนุนงานวิจัยที่นำสารสกัดจากเมล็ดลำโรงมาทดสอบ พบว่าสามารถยับยั้งการเจริญของเชื้อ E. coli (แสดงค่า inhibition zone เท่ากับ 20.2 ± 0.577 mm) S. aureus (แสดงค่า inhibition zone เท่ากับ 18.80 ± 0.333 mm)<sup>13</sup> งานวิจัยนี้แสดงให้เห็นว่าชนิดและปริมาณสารบริสุทธิ์ ที่แตกต่างกันในส่วนประกอบของพืช มีผลในการยับยั้งการเจริญของแบคทีเรียได้แตกต่างกัน และฤทธิ์การยับยั้งการเจริญของเปลือกลำโรงซึ่งพบสาร flavonoid ในปริมาณมากอาจจะมีฤทธิ์ทำลายเยื่อหุ้มเซลล์ของแบคทีเรียทำให้การซึมผ่านสารอิเล็คโตรไลต์ผิดปกติ หรืออาจจะมีผลไปยับยั้งการเกาะติดผิว ทำให้ยับยั้งการสร้างไบโอฟิล์มของเชื้อแบคทีเรีย<sup>22</sup>

การสำรวจเบื้องต้นแสดงให้เห็นว่าเปลือกลำโรงมีฤทธิ์ยับยั้งการเจริญของแบคทีเรียทั้งแกรมบวกและแกรมลบที่นำมาศึกษา ผลการศึกษาแสดงให้เห็นว่าเปลือกลำโรงสามารถยับยั้งการเกาะติดผิวของเชื้อ E. coli ATCC 25922, S. aureus ATCC 25923 และ P. aeruginosa คือยา อย่าง

มีประสิทธิภาพ แต่ต้องใช้ความเข้มข้นของเปลือกลำโรงในปริมาณมากเท่ากับ  $\frac{1}{2}$  MIC - 1MIC จึงจะสามารถยับยั้งการสร้างไบโอฟิล์มได้มากกว่า 50% ในเวลา 8-24 ชั่วโมง อย่างไรก็ตามแม้ฤทธิ์ยับยั้งการสร้างไบโอฟิล์มของเชื้อแบคทีเรียทั้งสามชนิดนี้จะมีประสิทธิภาพต่ำกว่ายาออกซีเตตราซัยคลิน แต่ถ้านำเปลือกต้นลำโรงมาผสมกับยาเตตราซัยคลิน ก็สามารถจะช่วยลดปริมาณการใช้เตตราซัยคลินให้น้อยลง (ใช้ MIC ที่ต่ำกว่าเดิม คือ 0.156 -1.25 mg/ml) ซึ่งอาจจะไปช่วยลดความเป็นพิษต่อดับและไต หรือช่วยลดอุบัติการณ์การดื้อยาของผู้ป่วยที่ติดเชื้อแบคทีเรีย งานวิจัยนี้สอดคล้องกับการใช้สารสกัดจากเมล็ดกัญชา (*Cannabis sativa L.*) เมื่อใช้ความเข้มข้น 0.5 mg/ml-1 mg/ml สามารถยับยั้งการสร้างไบโอฟิล์มของ *S. aureus* แต่งานวิจัยนี้ต้องใช้เปลือกต้นลำโรงในปริมาณสูงมาก คือ 80 mg/ml จึงจะสามารถยับยั้งการเกาะติดผิวของเชื้อ *S. aureus*<sup>24</sup> และนอกจากนี้ยังสนับสนุนงานวิจัยของสารสกัดจากใบแค *Sesbania grandiflora* ปริมาณ 40  $\mu$ g สามารถยับยั้งการสร้างไบโอฟิล์มของ *S. aureus*<sup>25</sup> และสารกลุ่มฟลาโวนอยด์ คือ resveratrol (10-50  $\mu$ g /ml) สามารถยับยั้งการสร้างไบโอฟิล์มของเชื้อ *E. coli*<sup>26</sup>

ผู้วิจัยทำการศึกษา Time-kill assay ซึ่งได้แสดงให้เห็นว่าเมื่อผสมเปลือกลำโรงต้นลำโรงกับโพลีเมกซินบี โดยลดปริมาณลง เท่ากับ  $\frac{1}{2}$  MIC สามารถการยับยั้งการเจริญของ *A. baumannii* ได้อย่างดีเทียบเท่ากับการใช้ยาโพลีเมกซินบีเพียงอย่างเดียว เมื่อใช้ในช่วงต้น log phase แต่มีประสิทธิภาพต่ำในการยับยั้งการเจริญของ *P. aeruginosa* ได้อย่างดีเทียบเท่ากับการใช้ยาโพลีเมกซินบีได้ที่ดีที่สุดในช่วงเวลาคือตั้งแต่ 4 ถึง 6 ชั่วโมงเท่านั้น ดังนั้นอาจจะสามารถนำเปลือกลำโรงต้นลำโรงมาผสมร่วมกับยาโพลีเมกซินบี แต่ต้องปรับปริมาณยาโพลีเมกซินบี และส่วนสกัดเอทานอลจากเปลือกลำโรงต้นลำโรงอย่างเหมาะสมในการใช้ และควรต้องทดสอบความเป็นพิษ กับสัตว์ทดลองก่อนนำไปประยุกต์ใช้จริง การทดสอบนี้สนับสนุนงานวิจัยของ Boonyanugomol โดยพบว่าน้ำมันหอมระเหยจาก *Zingiber cassumunar* ความเข้มข้น 7-9.24 mg/ml เมื่อผสมกับยากลุ่ม aminoglycosides, tetracycline และ fluoroquinolone สามารถยับยั้งการเจริญของเชื้อ *A. baumannii* ได้อย่างดี *S. aureus*<sup>27</sup> ดังนั้นการศึกษา time-kill assay ของเชื้อแบคทีเรียดื้อยาทั้งสองสายพันธุ์ อาจจะเป็นข้อมูลพื้นฐานในการหาสมุนไพรชนิดอื่นมาทดแทนยาในกลุ่มโพลีเมกซิน บี เพื่อลดผลข้างเคียงและความเป็นพิษต่อไตของโพลีเมกซิน บี ในอนาคต

ผลการทดสอบความเป็นพิษของเปลือกต้นลำโรง แสดงให้เห็นว่าเปลือกต้นลำโรงที่สกัดด้วยเอทานอล ไม่ได้แสดงความเป็นพิษต่อเซลล์ที่ทดสอบ แต่กลับไปส่งเสริมการแบ่งเซลล์

เม็ดเลือดขาวแมคโครฟาจ (RAW 264.7) ซึ่งแสดงผลแตกต่างกับวิจัยของการใช้สารสกัดเอทานอลจากเมล็ดของลำโรงที่สามารถยับยั้งการเจริญของเซลล์มะเร็ง MG-63 osteosarcoma cell แสดงระดับความเป็นพิษ  $IC_{50} = 163 \mu$ g/ml<sup>13</sup> แต่การศึกษาครั้งนี้ใช้เปลือกต้นลำโรงที่สกัดด้วยเอทานอล กลับแสดงระดับความเป็นพิษต่ำกว่า คือค่า  $IC_{50}$  มากกว่า 500  $\mu$ g/ml) ซึ่งแสดงให้เห็นว่าการใช้ส่วนประกอบของต้นลำโรงที่แตกต่างกัน อาจจะแสดงฤทธิ์ความเป็นพิษที่แตกต่างกัน เช่น เปลือก ใบ หรือเมล็ด จะแสดงความเป็นพิษที่แตกต่างกัน ในงานวิจัยนี้ใช้เปลือกของลำโรงที่สกัดด้วยเอทานอล แล้วมีแนวโน้มที่จะส่งเสริมการเจริญเติบโตของเซลล์แมคโครฟาจ RAW 264.7 ซึ่งอาจจะเกิดจากสารบริสุทธิ์บางชนิดในลำโรง เช่น flavonoid และ phenolic acid อาจจะไปมีผลส่งเสริมการเจริญเติบโตของเซลล์แมคโครฟาจ (RAW 264.7) เช่นเดียวกับสาร engeletin และ astilbin จากผลของ *Smilax corbularia* มีระดับความเป็นพิษต่อเซลล์แมคโครฟาจ (RAW 264.7) คือ  $IC_{50} >100 \mu$ g/ml<sup>28</sup> และแสดงผลการวิจัยที่แตกต่างจากงานวิจัยของการใช้ส่วนสกัดจากใบของลำโรงที่สกัดด้วยเฮกเซน สามารถยับยั้งการเจริญของเซลล์มะเร็งเต้านม 4T1 cell แสดงค่า  $IC_{50}$  of 34.65  $\mu$ g/ml<sup>29</sup> ซึ่งปกติ RAW 264.7 มักถูกใช้เป็นเซลล์ต้นแบบในการศึกษาการต้านการอักเสบ หรือลดการหลั่งของไซโตไคน์ต่าง ๆ ดังนั้นการใช้เปลือกลำโรงอาจจะมียุทธศาสตร์การอักเสบ ควบคู่กับการยับยั้งการเจริญและการต้านการสร้างไบโอฟิล์มของเชื้อแบคทีเรีย อย่างไรก็ตามงานวิจัยนี้จะทำการยืนยันผลของเปลือกต้นลำโรงต่อการต้านการอักเสบของเซลล์แมคโครฟาจในลำดับต่อไป นอกจากนี้การใช้สารสกัดจากลำโรงจะต้องคำนึงถึงความปลอดภัยของการนำสารสกัดจากลำโรงมาใช้จริง เนื่องจากงานวิจัยนี้เป็นการศึกษาในห้องปฏิบัติการ (in vitro test) ได้ใช้ปริมาณของสารสกัดเปลือกลำโรงมาใช้ยับยั้งการเจริญและการยับยั้งการสร้างไบโอฟิล์มของเชื้อแบคทีเรีย ในปริมาณสูงมาก (40-80 mg/ml) จึงควรจะนำความเข้มข้นระดับนี้ไปทดสอบความเป็นพิษกับสัตว์ทดลอง ถึงแม้เปลือกลำโรงปริมาณที่ต่ำนี้จะไม่มีความเป็นพิษต่อเซลล์แมคโครฟาจ (31.25-1000  $\mu$ g /ml)

ดังนั้นงานวิจัยนี้แสดงให้เห็นว่าลำโรงมีฤทธิ์ยับยั้งการเจริญของแบคทีเรียบางสายพันธุ์ สามารถลดการสร้างไบโอฟิล์มของแบคทีเรีย สามารถเสริมฤทธิ์กับยาโพลีเมกซินบีในการยับยั้งแบคทีเรียดื้อยา และการศึกษาครั้งนี้สามารถนำไปประยุกต์ใช้เพื่อเป็นประโยชน์ทางการแพทย์ เช่น ใช้เป็นส่วนผสมของน้ำยาฆ่าเชื้อแบคทีเรียแทนสารเคมีที่เป็นอันตราย เช่น ไทรโคซาน หรือเป็นข้อมูลพื้นฐานในการพิจารณานำเปลือกต้นลำโรงมาเป็นทางเลือกใหม่ในการรักษาโรคที่ติดเชื้อ

จากแบคทีเรียดีดื้อยา เพื่อลดปริมาณการใช้ยาปฏิชีวนะ และลดผลข้างเคียงที่เกิดจากการใช้ยาปฏิชีวนะ แต่ควรมีการทดสอบหาความเข้มข้นที่เหมาะสมเพื่อใช้ยับยั้งการเจริญของแบคทีเรียให้สัมพันธ์กับความเป็นพิษ และความปลอดภัยของสารสกัดในสัตว์ทดลองก่อนนำมาใช้ในการรักษาจริง

### สรุป

ส่วนสกัดเอทานอลจากเปลือกต้นลำโรง สามารถยับยั้งการเจริญของเชื้อ *E. coli* ATCC 25922, *S. aureus* ATCC 25923 และ *P. aeruginosa* ดีดื้อยา และสามารถยับยั้งการสร้างไบโอฟิล์มของเชื้อแบคทีเรียทั้งสามสายพันธุ์ดังกล่าวได้แตกต่างกันอย่างมีนัยสำคัญทางสถิติ และเมื่อนำส่วนสกัดเปลือกต้นลำโรงมาผสมกับยาโพลีเมกซิมินบี สามารถยับยั้งการเจริญเติบโตของเชื้อดีดื้อยา คือ *A. baumannii* และ *P. aeruginosa* ในช่วงต้น log phase และพบว่าส่วนสกัดเปลือกลำโรงมีความเป็นพิษต่ำต่อเซลล์แมคโครฟาจ (RAW 264.7)  $IC_{50} > 500 \mu\text{g/ml}$

### กิตติกรรมประกาศ

งานวิจัยนี้สำเร็จลุล่วงด้วยความอนุเคราะห์จากภาควิชาชีววิทยา ที่เอื้อเฟื้อสถานที่ทำวิจัย โรงพยาบาลศูนย์ชลบุรี จังหวัดชลบุรี ที่ให้ความอนุเคราะห์เชื้อแบคทีเรียสายพันธุ์ดีดื้อยา และภาควิชาจุลชีววิทยา ที่ให้ความอนุเคราะห์เชื้อแบคทีเรียมาตรฐาน

### เอกสารอ้างอิง

- Schroeder M, Brooks BD, Brooks AE. The complex relationship between virulence and antibiotic resistance. *Gene* 2017;8(39):3-23.
- Reygaert WC. An overview of the antimicrobial resistance mechanisms of bacteria. *AIMS Microbiology* 2018;26(4):482-501.
- Kumar S, Singh B. An overview of mechanisms and emergence of antimicrobial drug resistance. *Advances in Animal and Veterinary Sciences* 2013; 1(2S):7-14.
- Dhama K, Chakraborty S, Mahima, Wani MY, Verma AK, Deb R, et al. Novel and emerging therapies safeguarding health of humans and their companion animals: a review. *Pakistan Journal of Biological Sciences* 2013;16:101-11.
- Qureshi ZA, Hittle LE, O'Hara J A, Rivera JI, Syed A, Shields RK, et al. Colistin-resistant *Acinetobacter baumannii* beyond carbapenem resistance. *Clinical Infectious Disease* 2015;60(9):1295-303.
- Subramani R, Narayanasamy M, Feussner KD. Plant-derived antimicrobials to fight against multi-drug-resistant human pathogens. *Biotechnology* 2017;7(3):172. doi: 10.1007/s13205-017-0848-9.
- Cowan MM. Perspective on plant products as antimicrobials agents: a review. *Pharmacologia* 2013;4(7):469-548.
- Cheesman MJ, Ilanko A, Blonk B, Cock IE. Developing new antimicrobial therapies: are synergistic combinations of plant extracts/compounds with conventional antibiotics the solution? *Pharmacognosy Reviews* 2017;11(22):57-72.
- Septama AW, Panichayupakaranant P. Synergistic effect of artocarpin on antibacterial activity of some antibiotics against methicillin-resistant *Staphylococcus aureus*, *Pseudomonas aeruginosa*, and *Escherichia coli*. *Pharmaceutical Biology* 2016;54(4):686-91.
- Khaton A, Mohapatra A, Satapathy KB. Studies on in vitro evaluation of antibacterial and antioxidant activities of *Sterculia foetida* L. bark. *International Journal of Pharmaceutical Sciences and Research* 2016;7(7):2990-5.
- El-Sherei MM, Ragheb AY, Kassem MES, Marzouk MM, Mosharafa SA, Saleh NAM. Phytochemistry, biological activities and economical uses of the genus *Sterculia* and the related genera: a review. *Asian Pacific Journal of Tropical Disease* 2016;6:492-501.



12. Shamsundar SG, Paramjyothi S. Preliminary pharmacognostical and phytochemical investigation on *Sterculia foetida* Linn. Seeds. *African Journal of Biotechnology* 2010;9(13):1987-9.
13. Jafri A, Bano S, Rais J, Khan F, Shivnath N, Sharma AK. Phytochemical screening of *Sterculia foetida* seed extract for anti-oxidant, anti-microbial activity, and detection of apoptosis through reactive oxygen species (ROS) generation, mitochondrial membrane potential (MMP) decrease, and nuclear fragmentation in human osteosarcoma cells. *Journal of Histotechnology* 2019;42(2): 68-79.
14. Rabin N, Zheng Y, Opoku-Temeng C, Du Y, Bonsu E, Sintim H. Biofilm formation mechanisms and targets for developing antibiofilm agents. *Future Medicinal Chemistry* 2015;7(4):493-512.
15. Clinical & Laboratory Standards Institute. Performance Standards for Antimicrobial Susceptibility Testing. 27th ed. Wayne, PA: CLSI; 2017.
16. Awolola GV, Koorbanally NA, Chenia H, Shode FO, Baijnath H. Antibacterial and antibiofilm activity of flavonoids and triterpenes isolated from the extracts of *Ficus Sansibarica* WARB. SUBSP. *Sansibarica* (Moraceae) extract. *Material and Methods Collection of plant material* 2014;11(3): 124-31.
17. Sedlarik V, Galya T, Sedlarikova J, Valasek P, Saha P. The effect of preparation temperature on the mechanical and antibacterial properties of poly (vinyl alcohol) silver nitrate films. *Polymer Degradation and Stability* 2010;95:399-404.
18. Shappell NW. Ergovaline toxicity on Caco-2 cells as assessed by MTT, alamar Blue, and DNA assays. *In Vitro Cellular & Developmental Biology Animal* 2003;39(7):329-35.
19. El-Sherei M, Ragheb AY, Kassem MES, Marzouk MM, Mosharrafa SA, Saleh NAM. Phytochemistry, biological activities and economical uses of the genus *Sterculia* and the related genera: a review. *Asian Pacific Journal of Tropical Disease* 2016;6: 492-501.
20. Vital PG, Velasco RN, Demigillo JM, Rivera WL. Antimicrobial activity, cytotoxicity, and phytochemical screening of *Ficus septica* Burm and *Sterculia foetida* L. leaf extracts. *Journal of Medicinal Plants Research* 2010;4:58-63.
21. Kim N, Pham T, Nguyen TD, Doan TDC, Ha TD, Tran NMA, et al. Stercufoetin A, new oleanane-type triterpenoid from the leaves of *Sterculia foetida* L. *Natural product Research* 2021;35(7):1226-31.
22. Gupta PD, Birdi TJ. Development of botanicals to combat antibiotic resistance. *Journal of Ayurveda and Integrative Medicine* 2017;8:266-75.
23. Rabin N, Zheng Y, Opoku-Temeng C, Du Y, Bonsu E, Sin TH. Biofilm formation mechanisms and targets for developing antibiofilm agents. *Future Medicinal Chemistry* 2015;7(4):493-512.
24. Frassinetti S, Gabriele M, Moccia E, Longo V, Gioia DD. *Staphylococcus aureus* and growth effects on probiotic *Lactobacillus* spp. *Lebensmittel-Wissenschaft & Technologie* 2020;124:109149.
25. Gandhi AD, Vizhi DK, Lavanya K, Kalpana VN, Rajeswari VD, Babujanarthanam R. In vitro anti-biofilm and anti-bacterial activity of *Sesbania grandiflora* extract against *Staphylococcus aureus*. *Biochemistry and Biophysics Report* 2017;12:193-7.
26. Lee JH, Kim JG, Raorane CJ, Ryu SY, Shim JJ, Lee J. The anti-biofilm and anti-virulence activities of trans-resveratrol and oxyresveratrol against uropathogenic *Escherichia coli*. *The Journal of Bioadhesion and Biofilm Research* 2019;35(7):758-67.

27. Boonyanugomol W, Kraisriwattana K, Rukseree K, Boonsam K, Narachai P. In vitro synergistic antibacterial activity of the essential oil from *Zingiber cassumunar Roxb* against extensively drug-resistant *Acinetobacter baumannii* strains. *Journal of Infection and Public Health* 2017;10(5):586-92.
  28. Ruangnoo S , Jaiaree N, Makchuchit S, Panthong S, Thongdeeying P, Itharat A. An in vitro inhibitory effect on RAW 264.7 cells by anti-inflammatory compounds from *Smilax corbularia* Kunth. *Asian Pacific Journal of Allergy and Immunology* 2012; 30(4):268-74.
  29. Rollando R, Warsito W, Masruri M, Widodo W. *Sterculia foetida* Leaf fraction against matrix metalloproteinase-9 Protein and 4T1 breast cancer cells: In-vitro and In-Silico Studies. *Tropical Journal of Natural Product Research* 2021;5(1):113-21.
-